

## CD20F(ab')<sub>2</sub> 抗体的发酵与纯化

王金宏 纪庆 熊冬生 许元生 杨纯正\*

(中国医学科学院协和医科大学血液学研究所 实验血液学国家重点实验室 天津 300020)

**摘要** 转化了质粒 PYZcp<sup>3</sup> 的 16C9 大肠杆菌可高水平地分泌表达可溶性 CD20 F(ab')<sub>2</sub> 抗体,采用经优化的培养条件,在发酵罐上进行高密度培养,OD<sub>550</sub> 值达 140,每升湿菌重 200g,抗体的产量每升为 241mg,其中 F(ab')<sub>2</sub> 片段达 50%,F(ab')<sub>2</sub> 可以特异性的识别 CD20<sup>+</sup> 细胞并与 CD20 相结合;F(ab')<sub>2</sub> 对 Raji 细胞的 IC<sub>50</sub> 值为 22.8μg/mL,而 Fab' 对 Raji 细胞的 IC<sub>50</sub> 值为 45.9μg/mL。

**关键词** 高密度培养,CD20F(ab')<sub>2</sub> 抗体,16C9 大肠杆菌

中图分类号:Q55 文献标识码:A 文章编号:0001-6209(2004)05-0654-04

CD20 是一个比较成熟的 B 细胞表面标记,分子量为 33~37kD,属于非糖基化 III 型 A 次穿膜磷蛋白。CD20 特异性地表达在正常前 B 细胞以后的 B 细胞分化全过程(浆细胞时消失),以及相应的恶性 B 细胞肿瘤细胞上;在其它组织中均无 CD20 的表达<sup>[1-3]</sup>,在入血清中无游离 CD20 的存在<sup>[4]</sup>,因此 CD20 可作为 B 淋巴瘤治疗的一个很好的选择性治疗靶点。目前以 CD20 为靶点的嵌合抗 CD20 单克隆抗体 Rituxan 已获准应用于 B 淋巴瘤临床治疗<sup>[5]</sup>,这是单克隆抗体研究的又一个里程碑。本实验室已经构建、成功表达了基因工程嵌合抗体抗 CD20 单抗 HI47 的片段 Fab<sup>[6]</sup>,从 CD20Fab' 抗体表达载体上利用 PCR 方法扩增并修饰其重链恒定区 CH1C-末端的 DNA 序列,然后将修饰后的 CH1DNA 序列重组到原 Fab' 表达载体中,构建成抗 CD20 抗体片段 F(ab')<sub>2</sub> 表达载体,实现了 CD20 抗体片段在 F(ab')<sub>2</sub> 工程菌中的可溶性分泌表达<sup>[7]</sup>。研究 F(ab')<sub>2</sub> 的目的是为了提高抗体与抗原之间的结合力,延长抗体在生物体内的半衰期,实现 CD20F(ab')<sub>2</sub> 抗体在生物体内直接表达。本文将论述有关 CD20F(ab')<sub>2</sub> 抗体工程菌通过高密度发酵大量制备 F(ab')<sub>2</sub> 的工艺及其纯化。

### 1 材料和方法

#### 1.1 材料

##### 1.1.1 菌株和质粒:表达 CD20F(ab')<sub>2</sub> 抗体的质

粒<sup>[7]</sup>,16C9 感受态细菌和 Raji 细胞由本室保存。

**1.1.2 培养基:**2×YT(每升溶液含胰化蛋白胨 16g,酵母抽提物 10g,氯化钠 5g,调整 pH 值为 7.0 后灭菌)培养基用于试管种子菌培养;半合成培养基用于发酵罐补料分批培养,每升含酪蛋白水解物 12g,葡萄糖 3.36g,异亮氨酸 0.3g,硫酸铵 6.2g,磷酸二氢钠 1.3g,磷酸氢二钾 3.5g,柠檬酸三钠 1.2g,硫酸镁 2.9g,消泡剂 1mL,125μmol 三氯化铁,硫酸锌、硫酸锰、硫酸铜、氯化钴、硼酸、钼酸钠各 20μmol,10L 培养基在 19L 发酵罐上灭菌后以氨水调 pH 为 7.0,加 1g 氨苄青霉素。

**1.1.3 试剂:**酪蛋白水解物和胰化蛋白胨以及酵母抽提物购自美国 Sigma 公司,其它购自天津化学试剂一厂。

#### 1.2 方法

**1.2.1 质粒 DNA 转化大肠杆菌:**取 10μL 5×KCM(0.5mol/L KCl,0.15mol/L CaCl<sub>2</sub>,0.25mol/L MgCl<sub>2</sub>)、10μL 质粒 DNA 和 30μL H<sub>2</sub>O 混匀。加 40μL 感受态细菌,混匀。冰浴 20min,室温放置 10min,加 200μL 2×YT 培养基,37℃ 缓慢摇动培养 1h。取 50μL 或 100μL 转化细菌,均匀涂布于含 50μg/mL 氨苄青霉素的 2×YT 琼脂平板上,液体晾干后于 37℃,倒置培养过夜。

**1.2.2 摇瓶培养:**采用单因素考察法,对接种量、通气量、种子龄、培养基 pH 值、发酵温度、发酵周期等 6 项发酵工艺指标逐一进行考察对 CD20F(ab')<sub>2</sub> 含

基金项目:国家 863 中试项目(中试基金国科生字 2000141),国家 863 计划(2001 AA215341),天津重大基金资助项目(003119511)

\* 通讯作者。Tel/Fax 86-22-27230740,E-mail:czyang@public.tpt.tj.cn

作者简介:王金宏(1974-)男,安徽人,实习研究员,在职硕士研究生,主要研究方向为细菌的高密度培养等。

其他作者:王彩云,许元富,郑梦杰

收稿日期:2004-01-04,修回日期:2004-05-08

量的影响。

**1.2.3 高密度细菌培养** 种子菌摇瓶扩大培养 :取 -20℃ 冻存菌 100 $\mu$ L 接于 500mL 2 $\times$ YT 培养基中 ,37℃ 200r/min 培养 9h。溶氧反馈-分批补料高密度发酵 :将 500mL 发酵种子菌接种入 10L 发酵培养基中 ,在 NLF 19L 发酵罐上进行 CD20 F(ab')<sub>2</sub> 工程菌高密度发酵 ,培养 40h。主要参数为温度 :30℃ ;pH 值 :自动流加分析级 25% 氨水 ,将 pH 值控制在 7.4 ;溶氧值 :溶解氧在整个发酵过程中保持在 20% 左右 ;搅拌速度 :下限 300r/min ,上限 650r/min ;补料流加 :补料泵速度由当前溶氧值控制(速度在 5% ~ 15% 之间)。

**1.2.4 提取和纯化** :发酵液 10000r/min 4℃ 连续离心 ,弃上清 , -20℃ 冻存 1h ,化冻后 ,加 Shockate 液 (1L 裂解液中含 200g 蔗糖 ,200mmol NaCl ,PMSF 0.1mmol ,EDTA 1mmol ,Tris·Cl 25mmol ,pH 7.5) 将菌体打散 ,冰浴轻摇 1h ,12000r/min 离心 20min ,上清液过 0.45 $\mu$ m 膜 ,即发酵产物粗提液。用 Binding Buffer (0.01mol/L NaH<sub>2</sub>PO<sub>4</sub> ,0.01mol/L Na<sub>2</sub>HPO<sub>4</sub> ,0.05g/L NaN<sub>3</sub> ,pH7.0) 平衡 Protein G 亲和层析柱后上样(发酵产物粗提液) ,再用 Binding Buffer 冲洗基线 ,至基线稳定后 ,用 Elution Buffer (0.1mmol/L Glycine ,pH3.0) 洗脱 ,洗脱液用 Neutralizing Buffer (1mol/L Tris·HCl ,0.05g NaN<sub>3</sub> ,pH8.2) 中和 pH 值得亲和层析产物。用 S100-HR 分子筛柱分离纯化 Protein G 亲和层析产物 ,流动相为 0.1mol/L PBS + 0.1mol/L NaCl ;最后用 12% SDS-PAGE 分析纯化结果。

**1.2.5 检测和分析方法** :发酵液磷的含量采用磷钼酸铵法定磷 ,蛋白测定采用 Folin 酚测定抗体蛋白含量 ;发酵液中葡萄糖含量采用 YSI 2700 测定。

**1.2.6 F(ab')<sub>2</sub> 与 CD20<sup>+</sup> B 淋巴细胞的结合活性** :取对数生长期的 Raji 细胞 ,按每孔 1 $\times$ 10<sup>6</sup> 的密度将细胞接种于 40 孔板 ,控制细胞悬液的体积约 50 $\mu$ L。实验组每孔加 10 $\mu$ L 浓度为 400 $\mu$ g/mL 的 F(ab')<sub>2</sub> 溶液 ,同时设空白对照组和阴性对照组 ,空白对照组加 PBS ,阴性对照组加非相关抗体(抗 CD<sub>3</sub> 抗体) ,4℃ 放置 1h 后 ,2000r/min ,4℃ 离心 10min ,弃上清。用 PBS 洗涤细胞 3 次 ,加抗人  $\kappa$  链-FITC 抗体混匀后在 4℃ 避光放置 30min。用 PBS 洗涤细胞 3 次 ,向每个样品中加入 0.5mL 1% 多聚甲醛固定细胞 ,用流式细胞仪测定。

**1.2.7 活性 CD20 F(ab')<sub>2</sub> 抗体对 Raji 细胞的体外生长抑制实验** :取 96 孔细胞培养板 ,每孔加 0.1mL

含 5 $\times$ 10<sup>4</sup> 靶细胞 Raji 的培养液(含 10% 小牛血清的 RPMI-1640 培养液) ,每孔分别加入一系列不同浓度的 F(ab')<sub>2</sub> 或 Fab' 溶液各 0.1mL(样品浓度按 2 倍递次稀释) ,阴性对照孔加 0.1mL RPMI-1640 培养液 ,在 37℃ 5% CO<sub>2</sub> 的饱和水汽二氧化碳孵箱中培养 72h。离心弃上清 ,用 PBS 洗涤一次 ;每孔加 0.1mL PBS 和 10 $\mu$ L MTT ,在 37℃ 5% CO<sub>2</sub> 的饱和水汽二氧化碳孵箱中培养 4h 后每孔加酸化异丙醇(异丙醇中含 0.04mol/L 盐酸) ,混匀 ,使还原产物(formazan 紫色结晶)充分溶解。置酶标仪(Bio-Rad 公司生产的 450 型)上测定光密度(OD)值 ,检测波长 570nm。

## 2 结果

### 2.1 工程菌的发酵

**2.1.1 摇瓶培养** :200mL 2 $\times$ YT 培养基用 500mL 锥形瓶在 37℃ ,220r/min 摇瓶 4h 后 ,4℃ ,4000r/min 离心 10min ,弃上清将菌体加入 400mL AP5 培养基 ,pH 值为 7.4 ,220r/min 在 500mL 锥形瓶中发酵温度为 25℃ ,发酵周期 32h。采用这种发酵工艺条件 ,发酵菌体经蛋白 G 亲和纯化后 ,抗体片段的产量可以达到 8.6mg/L F(ab')<sub>2</sub> 的含量 15% 左右(图 1)。

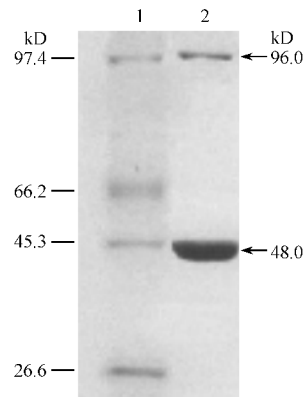


图 1 摇瓶发酵产物电泳图谱

Fig.1 The SDS-PAGE of CD20 antibody( non-reduced )

1. Marker ;2. Protein G flow through.

**2.1.2 工程菌的高密度培养** 根据培养基中营养物质耗尽时 ,细菌有氧代谢减缓 ,培养基中溶解氧提高 ,当补充营养物质后 ,溶解氧又下降的规律 ,通过溶氧控制营养物质的加入 ,使各营养物质浓度保持在一定范围内 ,以减少有害物质的产生。基于以上原理进行抗 CD20 F(ab')<sub>2</sub> 工程菌的高密度发酵 ,发酵过程中发酵液 pH 控制在 7.4 左右 ,30℃ 生长 ,时间 40h ,其中具有代表性的一批最终菌体密度 OD<sub>550</sub>

达 140, 湿菌体产量 200g/L (图 2); 发酵菌体经蛋白 G 亲和纯化后, 测得抗 CD20 抗体片段产量达 241mg/L, 其中  $F(ab')_2$  为 50%, 其余为  $Fab'$ 。

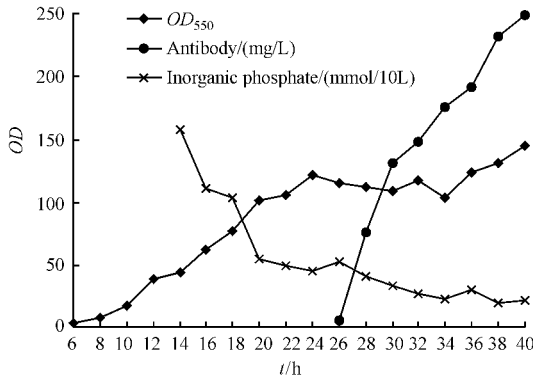


图 2 工程菌高密度发酵生长、抗体表达和发酵液中无机磷含量的时间曲线

Fig. 2 The time curve of the growth of the recombinant bacteria amounts of antibody and inorganic phosphate during high density culture

## 2.2 纯化

样品经 S100-HR 分子筛纯化, 再进行 SDS-PAGE 分析 (图 3), 而后薄层扫描分析表明  $F(ab')_2$  百分含量可达 95%。

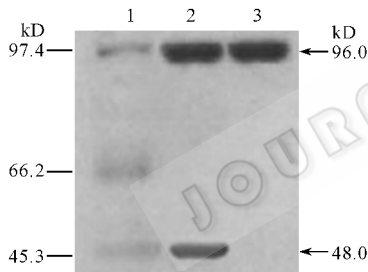


图 3 S-100 纯化产物电泳图谱

Fig. 3 The SDS-PAGE of CD20 antibody (non-reduced)

1. Marker; 2. Protein G flow through; 3. S-100 flow through.

## 2.3 $F(ab')_2$ 与 $CD20^+$ B 淋巴细胞的结合活性

$F(ab')_2$  与  $Raji$  细胞结合实验的 FACS 测定结果表明,  $F(ab')_2$  与  $Raji$  的结合阳性率可达 95% 以上, 远远大于非相关抗体 (抗  $CD_3$  抗体) 与  $Raji$  细胞的结合阳性率, 也远大于空白对照组的阳性率。以上结果说明, 我们表达的  $F(ab')_2$  可以特异性的识别  $CD20^+$  细胞并与  $CD20$  相结合。

## 2.4 MTT 法检测抗 CD20 嵌和抗体片段对 $Raji$ 细胞的生长抑制作用

实验结果表明,  $F(ab')_2$  和  $Fab'$  对  $Raji$  细胞的生长都具有剂量依赖性的生长抑制作用, 与  $Fab'$  相比,  $F(ab')_2$  对  $Raji$  细胞的生长抑制作用更强。经计算,  $F(ab')_2$  对  $Raji$  细胞的  $IC_{50}$  值为 22.8  $\mu\text{g}/\text{mL}$ ;  $Fab'$

对  $Raji$  细胞的  $IC_{50}$  值为 45.9  $\mu\text{g}/\text{mL}$  (图 4)。

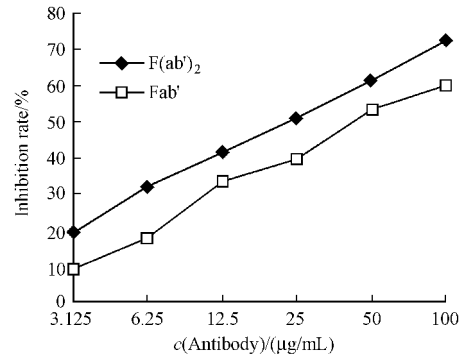


图 4  $F(ab')_2$  和  $Fab'$  对体外培养  $Raji$  细胞的生长抑制作用

Fig. 4 Inhibition on proliferation of  $Raji$  cells by  $CD20 F(ab')_2$  and  $Fab'$

## 3 讨论

当大肠杆菌生长在厌氧或限氧条件时可产生乙酸盐; 在高密度发酵中, 高浓度乙酸盐使生长速率, 菌体得率和最大可达细胞密度均下降, 另外乙酸盐对重组细胞的毒害作用比非重组细胞大, 乙酸盐的积累使重组蛋白产量明显下降, 虽然这种有害作用的确切机制尚不清楚, 但乙酸盐抑制 DNA、RNA、蛋白及脂质的合成是可能的, 同时乙酸盐毒害作用可因调控 pH 的酸性或碱性盐的积累而加重, 在补料-分批培养中采用限制碳源或氮源等必需营养物质和降低培养的温度以 (这是本文细菌未采用 37 $^{\circ}\text{C}$  而采用 30 $^{\circ}\text{C}$  培养的原因) 控制生长速率, 以达到降低乙酸盐目的<sup>[8]</sup>。

$CD20 F(ab')_2$  抗体的分子量是  $Fab'$  的 2 倍, 延长了抗体片段在生物体内半衰期; 同时由于其具有两个抗原结合位点, 因此表观亲和力与  $Fab'$  相比明显提高, 有利该抗体片段发挥药效。  $Fab'$  可以通过化学偶联方法制备  $F(ab')_2$ , 但产率将受到偶联效率和分离纯化效率的影响, 且产物活性也将下降; 如能在体内直接表达, 将极大地简化生产工艺, 有利于大规模工业生产, 因此我们通过对  $Fab'$  进行改造, 可在细菌周质腔内自发形成可溶性  $CD20 F(ab')_2$  抗体。

本文采用  $phoA$  启动子, 将重链 FD 基因和轻链基因的 5' 端连接上细菌内毒素的信号序列, 使所表达的蛋白在信号肽的引导下分泌到周质腔, 在类似伴侣蛋白的协同作用下, 形成完全正确的立体折叠和连间二硫键, 表达产物为可溶性  $CD20 F(ab')_2$  抗体, 产量达 241mg/L。我们采用该系统表达具有以下特点 (1) 可避免产物被细胞内蛋白酶降解 (2) 表

达产物可按正确方式进行折叠,具有良好生物活性,可避免形成大量无活性的包涵体,简化了分离纯化的步骤(3)由于蛋白被分泌到细菌周质腔内,因而降低了外源蛋白对宿主细胞的毒害作用。本文采用的表达系统为分泌型,通常表达抗体的产量较低,仅有每升数毫克左右,但我们应用高密度发酵技术达到了每升数百毫克水平,使其大规模生产成为可能,而且其活性与摇瓶培养的抗体生物活性基本一致<sup>[7]</sup>。

### 参 考 文 献

- [ 1 ] Stashenko P, Nadier L M, Hardy R, *et al.* Characterization of a human B lymphocyte specific antigen. *J Immunol*, 1980, **125**:1678 - 1685.
- [ 2 ] Naddoer L M, Korsmeyer S J, Anderson K C, *et al.* B cell origin of

non T cell acute lymphoblastic leukemia a model for discrete stages of neoplastic and normal pre B cell differentiation. *J Clin Invest*, 1984, **74**: 332 - 340.

- [ 3 ] Chang K L, Arber D A, Weiss L M, *et al.* CD20: a review. *Applied Immunohistochem*, 1996, **4**: 1 - 15.
- [ 4 ] Einfeld D A, Broen J P, Valentine M A, *et al.* Molecular cloning of the human B cell CD20 receptor predicts a hydrophobic protein with multiple transmembrane domains. *EMBO J*, 1988, **7**: 711 - 717.
- [ 5 ] Magic B. Finally approval of a monoclonal antibody for the treatment of cancer. *Cancer Biotherapy & Radio Pharmaceuticals*, 1997, **14** (4): 223 - 233.
- [ 6 ] 赖增祖, 熊冬生, 许元富, 等. 抗 CD20 嵌合抗体片段 Fab' 在大肠杆菌中高效表达. *高技术通讯*, 2000, **10**(4): 9 - 14.
- [ 7 ] 郑梦杰, 范冬梅, 熊冬生. 新型基因工程抗 CD20 抗体片段的构建、表达和活性. *高技术通讯*, 2001, **11**(9): 13 - 17.
- [ 8 ] Sang Y L. High cell-density culture of *Escherichia coli*. *Tibtech*, 1996, **14**: 98 - 105.

## Ferment and Purification of CD20( ab' )<sub>2</sub> Antibody

WANG Jin-Hong JI Qing XIONG Dong-Sheng XU Yuan-Sheng YANG Chun-Zheng\*

( State Key Laboratory of Experimental Hematology, Institute of Hematology, Chinese Academy of Medical Science & Peking Union Medical College, Tianjin 300020, China )

**Abstract**: The pYZcpp3 was introduced to *E. coli* 16C9, in which could be expressed at high level. By using optimize the ferment parameters, during high density culture the final cell density  $OD_{550}$  reaches 140 (200g wet cell weigh/L). After the CD20( ab' )<sub>2</sub> antibody was extracted from *E. coli* and then purified by FPLC. The yield of soluble CD20( ab' )<sub>2</sub> antibody was 241mg/L and 50% of it is bivalent. The antigen-binding activity of ( ab' )<sub>2</sub> was analysed by FACS using Raji cells as target cells, the result showed that ( ab' )<sub>2</sub> specifically binds to CD 20<sup>+</sup> cells. The activity of ( ab' )<sub>2</sub> inhibiting the growth of cell Raji *in vitro* was examined using MTT, which showed that the  $IC_{50}$  of CD20 ( ab' )<sub>2</sub> and Fab' were 22.9 $\mu$ g/mL and 42.8 $\mu$ g/mL respectively.

**Key words**: High density culture, CD 20 ( ab' )<sub>2</sub> antibody, *Escherichia coli* 16C9

Foundation item: Chinese National Programs for High Technology Research and Development( 2000141, 2001 AA215341 ); Tianjin's Important Foundation Item( 003119511 )

\* Corresponding author. Tel/Fax: 86-22-27230740; E-mail: czyang@public.tj.tj.cn

Other authors: WANG Cai-Yun, XU Yuan-Fu, ZHENG Meng-Jie

Received date: 01-02-2004